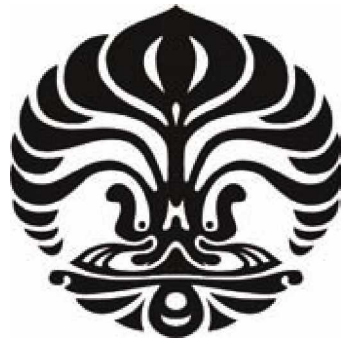


**RANCANG BANGUN ANTENA MIKROSTRIP PATCH
SEGIEMPAT PLANAR ARRAY 4 ELEMEN DENGAN
PENCATUAN APERTURE-COUPLED UNTUK
APLIKASI CPE PADA WIMAX**

TESIS

Oleh

**ALI HANAFIAH RAMBE
06 06 003 120**



**PROGRAM PASCASARJANA
DEPARTEMEN TEKNIK ELEKTRO
FAKULTAS TEKNIK UNIVERSITAS INDONESIA
GENAP 2007/2008**

**RANCANG BANGUN ANTENA MIKROSTRIP PATCH
SEGIEMPAT PLANAR ARRAY 4 ELEMEN DENGAN
PENCATUAN APERTURE-COUPLED UNTUK
APLIKASI CPE PADA WIMAX**

TESIS

Oleh

**ALI HANAFIAH RAMBE
06 06 003 120**



**TESISINI DIAJUKAN UNTUK MELENGKAPI SEBAGIAN
PERSYARATAN MENJADI MAGISTER TEKNIK**

**PROGRAM PASCASARJANA
DEPARTEMEN TEKNIK ELEKTRO
FAKULTAS TEKNIK UNIVERSITAS INDONESIA
GANJIL 2007/2008**

PERNYATAAN KEASLIAN TESIS

Saya menyatakan dengan sesungguhnya bahwa tesis dengan judul :

RANCANG BANGUN ANTENA MIKROSTRIP PATCH SEGIEMPAT PLANAR ARRAY 4 ELEMEN DENGAN PENCATUAN APERTURE- COUPLED UNTUK APLIKASI CPE PADA WIMAX

yang dibuat untuk melengkapi sebagian persyaratan menjadi Magister Teknik pada Program Pascasarjana Departemen Teknik Elektro Fakultas Teknik Universitas Indonesia, sejauh yang saya ketahui bukan merupakan tiruan atau duplikasi dari tesis yang sudah dipublikasikan dan atau pernah dipakai untuk mendapatkan gelar kesarjanaan di lingkungan Universitas Indonesia maupun di Perguruan Tinggi atau Instansi manapun, kecuali bagian yang sumber informasinya dicantumkan sebagaimana mestinya.

Depok, 17 Juli 2008

Ali Hanafiah Rambe
NPM 06 06 003 120

PENGESAHAN

Tesis dengan judul :

RANCANG BANGUN ANTENA MIKROSTRIP PATCH SEGIEMPAT PLANAR ARRAY 4 ELEMEN DENGAN PENCATUAN APERTURE- COUPLED UNTUK APLIKASI CPE PADA WIMAX

dibuat untuk melengkapi sebagian persyaratan menjadi Magister Teknik pada Program Pascasarjana Departemen Teknik Elektro Fakultas Teknik Universitas Indonesia. Tesis ini telah diujikan pada sidang ujian tesis pada tanggal 3 Juli 2008 dan dinyatakan memenuhi syarat/sah sebagai tesis pada Departemen Teknik Elektro Fakultas Teknik Universitas Indonesia.

Ko-Dosen Pembimbing

Fitri Yuli Zulkifli, S.T., M.Sc.
NIP. 132 206 671

Depok, 17 Juli 2008
Dosen Pembimbing
Prof. Dr. Ir. Eko Tjipto Rahardjo, M.Sc.
NIP. 131 122 083

UCAPAN TERIMA KASIH

Penulis mengucapkan terima kasih kepada :

Prof. Dr. Ir. Eko Tjipto Rahardjo, M.Sc.

selaku dosen pembimbing, dan kepada :

Fitri Yuli Zulkifli, ST, MSc.

selaku ko-dosen pembimbing,

yang telah bersedia meluangkan waktu untuk memberi pengarahan, diskusi, bimbingan, dan memberikan tempat untuk eksperimen serta menyetujui sebagai bagian dari penelitian pada *Antenna and Microwave Research Group* (AMRG) sehingga tesis ini dapat diselesaikan dengan baik.

Depok, 17 Juli 2008

Penulis,

Ali Hanafiah Rambe
NPM 06 06 003 120

ABSTRAK

Ali Hanafiah Rambe 06 06 003 120 Departemen Teknik Elektro	Dosen Pembimbing Prof. Dr. Ir. Eko Tjipto Rahardjo, M.Sc. Ko-Dosen Pembimbing Fitri Yuli Zulkifli, S.T., M.Sc.
--	---

RANCANG BANGUN ANTENA MIKROSTRIP PATCH SEGIEMPAT PLANAR ARRAY 4 ELEMEN DENGAN PENCATUAN APERTURE-COUPLED UNTUK APLIKASI CPE PADA WIMAX

ABSTRAK

Antena mikrostrip telah banyak digunakan pada berbagai aplikasi komunikasi radio, diantaranya adalah CPE pada sistem WiMAX. Aplikasi CPE pada sistem WiMAX membutuhkan perangkat yang kecil, ringan dan *portable*, sehingga dapat dirakit pada peralatan *Mobile Subscriber* (MS) dengan mudah tanpa harus memperbesar dimensi dan membebaninya. Oleh karena itu antena mikrostrip merupakan sebuah kandidat yang mampu memberikan kebutuhan tersebut.

Pada tesis ini dirancang suatu antena mikrostrip *patch* segiempat *planar array* 4 elemen untuk aplikasi CPE WiMAX yang bekerja pada frekuensi 2,3 GHz (2,3–2,4 GHz). Antena mikrostrip yang dirancang menggunakan teknik pencatuan *aperture coupled* yang mampu memberikan *bandwidth* yang lebar.

Dari hasil pengukuran, antena yang telah dirancang mampu bekerja pada rentang frekuensi 2,3–2,4 GHz. Nilai VSWR $\leq 1,36$ dapat dicapai pada rentang 2,27 GHz – 2,4 GHz (130 MHz) dan perolehan *gain* mencapai sekitar 10,637 dBi.

Kata kunci : CPE, WiMAX, *planar array*, *aperture coupled*, VSWR, *gain*.

ABSTRACT

Ali Hanafiah Rambe 06 06 003 120 Electrical Departement Engineering	Supervisor Prof. Dr. Ir. Eko Tjipto Rahardjo, M.Sc. Co-Supervisor Fitri Yuli Zulkifli, ST, MSc.
---	--

DESIGN OF 4 ELEMENTS PLANAR ARRAY RECTANGULAR PATCH MICROSTRIP ANTENNA WITH APERTURE-COUPLED FEED FOR CPE WiMAX APPLICATION

ABSTRACT

The microstrip antenna is used in many application of radio communication such as CPE WiMAX application. The CPE WiMAX applications require small equipment, light weight, and portable. It can be installed easily in mobile subscriber equipment simply without increasing the dimension of the equipment and extra loading. Therefore, the microstrip antenna is a good candidate for this application.

This thesis, discuss of design of 4 element planar array rectangular patch microstrip antenna that can be used for CPE WiMAX application. The antenna works at frequency 2.3 GHz (2.3-2.4 GHz). The aperture-coupled feed technique is used to excite the elements. This technique can give wideband frequency.

Measurement result shows the antenna works at frequency 2.3-2.4 GHz. The VSWR ≤ 1.36 was obtained at 2.27 GHz – 2.4 GHz (130 MHz) and gain is around 10.637 dBi.

Keywords : CPE WiMAX, planar array, aperture coupled, VSWR, gain.

DAFTAR ISI

SAMPUL DALAM.....	i
PERNYATAAN KEASLIAN TESIS.....	ii
PERSETUJUAN.....	iii
UCAPAN TERIMA KASIH	iv
ABSTRAK	v
ABSTRACT	vi
DAFTAR ISI	vii
DAFTAR GAMBAR.....	x
DAFTAR TABEL	xii
 BAB I PENDAHULUAN	 1
1.1. LATAR BELAKANG	1
1.2. TUJUAN PENULISAN.....	4
1.3. BATASAN MASALAH.....	4
1.4. SISTEMATIKA PENELITIAN.....	4
 BAB II ANTENA MIKROSTRIP	 6
2.1. STRUKTUR DASAR ANTENA MIKROSTRIP.....	6
2.2. MODEL <i>CAVITY</i>	8
2.3. PARAMETER UMUM ANTENA MIKROSTRIP	10
2.3.1. <i>Bandwidth</i>	10
2.3.2. <i>VSWR (Voltage Standing Wave Ratio)</i>	11
2.3.3. <i>Return Loss</i>	12
2.3.4. Polarisasi	13
2.3.5. Keterarahan (<i>Directivity</i>).....	15
2.3.6. Penguatan (<i>Gain</i>)	15
2.4. ANTENA MIKROSTRIP <i>PATCH</i> PERSEGI PANJANG	16
2.5. ANTENA MIKROSTRIP <i>ARRAY</i>	17
2.6. TEKNIK PENCATUAN <i>APERTURE COUPLED</i>	18
2.7. <i>IMPEDANCE MATCHING</i>	20

2.8. PWER DIVIDER	21
2.9. T-JUNCTION 50 OHM	21
BAB III PERANCANGAN ANTENA DAN METODOLOGI	
PENGUKURAN	22
3.1. UMUM	22
3.2. PERLENGKAPAN YANG DIGUNAKAN.....	22
3.2.1. Perangkat Lunak	23
3.2.2. Perangkat Keras	23
3.3. PERANCANGAN <i>PATCH</i> SEGIEMPAT ELEMEN TUNGGAL	23
3.3.1. Diagram Alir Perancangan Elemen Tunggal.....	23
3.3.2. Menentukan Frekuensi Resonansi	25
3.3.2. Jenis Substrat yang Digunakan	25
3.3.4. Perancangan Dimensi <i>Patch</i> Segiempat Elemen Tunggal	26
3.3.5. Perancangan Lebar Saluran Pencatu	26
3.3.6. Perancangan <i>Slot Aperture</i>	27
3.3.7. Mensimulasikan Rancangan	28
3.3.8. Karakterisasi Antena Eleven Tunggal	29
3.3.9. Hasil Simulasi Elemen Tunggal	31
3.4. PERANCANGAN <i>PLANAR ARRAY PATCH</i> SEGIEMPAT 4 ELEMEN.....	34
3.4.1. Diagram Alir Perancangan <i>Planar Array</i> 4 Elemen.....	34
3.4.2. Pengaturan Jarak Antar Elemen	35
3.4.3. Perancangan <i>T-Junction</i>	36
3.4.4. Hasil Simulasi 4 Elemen	37
3.5. METODOLOGI PENGUKURAN PARAMETER ANTENA	41
3.5.1. Pengukuran <i>Port</i> Tunggal	41
3.5.2. Pengukuran <i>Port</i> Ganda	42
3.5.3. Pengukuran <i>Gain</i> Absolut	43
3.5.3.1. Metode 2 Antena	44
3.5.3.2. Metode 3 Antena	44

BAB IV HASIL PENGUKURAN DAN ANALISIS HASIL	
PENGUKURAN	46
4.1. HASIL PENGUKURAN PARAMETER ANTENA	46
4.1.1. Pengukuran <i>Port</i> Tunggal	46
4.1.2. Pengukuran <i>Port</i> Ganda	51
4.1.3. Pengukuran <i>Gain</i>	56
4.2. ANALISIS HASIL PENGUKURAN.....	58
4.2.1. Analisis Hasil Pengukuran <i>Port</i> Tunggal	58
4.2.2. Analisis Hasil Pengukuran <i>Port</i> Ganda	62
4.2.3. Analisis Hasil Pengukuran <i>Gain</i>	63
4.2.4. Analisis Kesalahan Umum	64
4.2.5. Analisis Pencapaian Spesifikasi Antena	65
BAB IV KESIMPULAN	66
DAFTAR ACUAN	xiii
DAFTAR PUSTAKA	xv
LAMPIRAN-A PERATURAN DIRJEND POSTEL INDONESIA TENTANG PERSYARATAN TEKNIS ALAT DAN PERANGKAT TELEKOMUNIKASI ANTENA BWA	67
LAMPIRAN-B DATA HASIL SIMULASI	73
LAMPIRAN-C DATA HASIL PENGUKURAN	83

DAFTAR GAMBAR

Gambar 1.1. Arsitektur dasar sistem WiMAX	1
Gambar 1.2. Diagram blok radio penerima	2
Gambar 1.3. Antena mikrostrip pada laptop	2
Gambar 2.1. Struktur dasar antena mikrostrip	6
Gambar 2.2. Beberapa bentuk <i>patch</i>	7
Gambar 2.3. Distribusi muatan dan densitas arus yang terbentuk pada patch mikrostrip	9
Gambar 2.4. Rentang frekuensi yang menjadi <i>bandwidth</i>	10
Gambar 2.5. Polarisasi linier	13
Gambar 2.6. Polarisasi melingkar	14
Gambar 2.7. Polarisasi Elips	14
Gambar 2.8. Antena <i>array</i>	18
Gambar 2.9. Teknik pencatuan <i>aperture coupled</i>	19
Gambar 2.10. Pemberian transformator $\lambda/4$ untuk memperoleh <i>impedance matching</i>	20
Gambar 2.11. <i>N-way Wilkinson combiner</i>	21
Gambar 2.12. <i>T-junction</i> 50 ohm.....	21
Gambar 3.1. Diagram alir perancangan <i>patch</i> elemen tunggal	25
Gambar 3.2. Tampilan program TXLine 2003 untuk mencari lebar saluran pencatu agar mempunyai impedansi 50Ω	27
Gambar 3.3. <i>Return loss</i> hasil simulasi awal.....	28
Gambar 3.4. <i>Return loss</i> dengan perubahan panjang <i>patch</i> (L)	29
Gambar 3.5. <i>Return loss</i> dengan perubahan panjang saluran pencatu	30
Gambar 3.6. <i>Return loss</i> dengan perubahan dimensi <i>slot aperture</i>	31
Gambar 3.7. Hasil simulasi <i>return loss</i> elemen tunggal	32
Gambar 3.8. Hasil simulasi VSWR elemen tunggal	32
Gambar 3.9. Hasil simulasi pola radiasi elemen tunggal	33
Gambar 3.10. Geometri hasil perancangan <i>patch</i> elemen tunggal	34
Gambar 3.11. Diagram alir perancangan <i>planar array</i> 4 elemen	35
Gambar 3.12. Perancangan <i>T-junction</i>	36
Gambar 3.13. Tampilan program TXLINE untuk mencari panjang dan lebar saluran pencatu agar mempunyai impedansi $70,711 \Omega$	37

Gambar 3.14. Hasil simulasi <i>return loss</i> 4 elemen	38
Gambar 3.15. Hasil simulasi VSWR 4 elemen	38
Gambar 3.16. Hasil simulasi pola radiasi 4 elemen	39
Gambar 3.17. Geometri hasil perancangan <i>planar array</i> 4 elemen	40
Gambar 3.18. Konfigurasi pengukuran <i>port</i> tunggal	42
Gambar 3.19. Konfigurasi pengukuran <i>port</i> ganda	42
Gambar 3.20. Orientasi medan E dan medan H antena	43
Gambar 4.1. Grafik <i>return loss</i> hasil pengukuran antena elemen tunggal	47
Gambar 4.2. Grafik VSWR hasil pengukuran antena elemen tunggal	47
Gambar 4.3. Grafik impedansi masukan hasil pengukuran elemen tunggal	48
Gambar 4.4. Grafik <i>return loss</i> hasil pengukuran antena 4 elemen	49
Gambar 4.5. Grafik VSWR hasil pengukuran antena 4 elemen	49
Gambar 4.6. Grafik impedansi masukan hasil pengukuran antena 4 elemen	50
Gambar 4.7. Hasil pengukuran medan-E dan medan-H antena elemen tunggal pada frekuensi 2,35 GHz	52
Gambar 4.8. Hasil pengukuran E-Co dan E-Cross antena elemen tunggal pada frekuensi 2,35 GHz	52
Gambar 4.9. Hasil pengukuran H-Co dan H-Cross antena elemen tunggal pada frekuensi 2,35 GHz	53
Gambar 4.10. Hasil pengukuran medan-E dan medan-H antena 4 elemen pada frekuensi 2,35 GHz	54
Gambar 4.11. Hasil pengukuran E-Co dan E-Cross antena 4 elemen pada frekuensi 2,35 GHz	54
Gambar 4.12. Hasil pengukuran H-Co dan H-Cross antena 4 elemen pada frekuensi 2,35 GHz	55
Gambar 4.13. Perbandingan <i>return loss</i> hasil simulasi dengan hasil pengukuran antena elemen tunggal.....	57
Gambar 4.14. Perbandingan VSWR hasil simulasi dengan hasil pengukuran antena elemen tunggal	58
Gambar 4.15. Perbandingan <i>return loss</i> hasil simulasi dengan hasil pengukuran antena <i>planar array</i> 4 elemen	59
Gambar 4.16. Perbandingan VSWR hasil simulasi dengan hasil pengukuran antena <i>planar array</i> 4 elemen	60
Gambar 4.17. Perbandingan pola radiasi hasil pengukuran antara elemen tunggal dan <i>planar array</i> 4 elemen	61
Gambar 4.18. Perbandingan nilai <i>gain</i> antara antena elemen tunggal dan antena <i>planar array</i> 4 elemen	62

DAFTAR TABEL

Tabel 1.1. Beberapa antena mikrostrip dengan <i>bandwidth</i> yang lebar	3
Tabel 3.1. Spesifikasi substrat yang digunakan	26
Tabel 3.2. Parameter Antena Hasil Simulasi	41
Tabel 4.1. Hasil Pengukuran <i>Port</i> Tunggal	51
Tabel 4.2. Hasil pengukuran pola radiasi	55
Tabel 4.3. <i>Gain</i> Antena Mikrostrip <i>Patch</i> Segiempat	56
Tabel 4.4. Perbandingan hasil simulasi dengan pengukuran <i>port</i> tunggal antena elemen tunggal	59
Tabel 4.5. Perbandingan hasil simulasi dengan pengukuran <i>port</i> tunggal antena <i>planar array</i> 4 elemen	60
Tabel 4.6. Pencapaian spesifikasi antena	64